

ВЫСОКОМОЛЕКУЛЯРНЫЕ
СОЕДИНЕНИЯ

Том (A) XVII

1975

№ 4

УДК 541.64:539.2

БЛИЖНИЙ ОРИЕНТАЦИОННЫЙ ПОРЯДОК
В НАБУХШИХ ПОЛИМЕРАХ

*А. К. Дадиванян, В. Х. Гарифян, Ж. А. Саркисян,
В. М. Асланян*

Методом фотоупругости, динамического двойного лучепреломления и вязкости изучена оптическая анизотропия полихлоропрена в разных растворителях. Температурная зависимость оптической анизотропии свидетельствует об увеличении степени упорядоченности молекул растворителя относительно полимерной цепи с понижением температуры. Концентрационные исследования, проведенные в ряде растворителей, показывают, что относительно макромолекулы ориентируются и вносят вклад в ее оптическую анизотропию только молекулы растворителя, находящиеся в непосредственной близости от полимерной цепи.

Как известно, величина и знак собственной оптической анизотропии макромолекул зависят от свойств используемого растворителя [1–9], что свидетельствует о существенном влиянии межмолекулярных взаимодействий на оптические свойства макромолекул. В связи с этим была выдвинута гипотеза о существовании в растворах полимеров ближнего ориентационного порядка [4, 10]. О наличии ориентации молекул растворителя относительно макромолекул полимера свидетельствуют исследования термодинамических свойств [11, 12] и ИК-дихроизма [13, 14] растворов полимеров.

Данная работа посвящена исследованию зависимости измеряемой оптической анизотропии макромолекул от температуры и концентрации полимера с целью получения информации о ближнем порядке в растворах полимеров, об объемной доле и относительном числе молекул растворителя, ориентирующихся относительно макромолекул.

Объектом исследований служил полихлоропрен (ПХП) эмульсионной полимеризации при -10° с молекулярным весом $8 \cdot 10^5$, определенным по соотношению [15]

$$[\eta] = 1,30 \cdot 10^{-4} M^{0,72} \quad (1)$$

Собственную анизотропию при высоких концентрациях полимера (5–10%) определяли методом фотоупругости, а при низких – методом динамического двойного лучепреломления и вязкости.

В качестве растворителей использовали бромоформ, бромбензол, *n*-ксилол, *m*-ксилол, *o*-ксилол, толуол, близость показателей преломления которых к показателю преломления ПХП ($n_h = 1,55$) давала возможность пренебречь эффектами макро- и микроформы.

Пленки толщиной 1 мм получали выпариванием растворов ПХП в бензole на ртутной подложке. Для очистки растворы предварительно центрифугировали при ускорениях 10^4 g. Полученные описанным методом пленки были прозрачными и высокоэластичными в исследуемой области температур. Сшивание полимера достигалось термической обработкой при 100° . Для плавления надмолекулярных структур образцы в течение нескольких часов подвергали набуханию в хлороформе и затем высушивали. Исчезновение надмолекулярных образований в пленках контролировали отсутствием двойного лучепреломления в перастянутых образцах, малогловому рассеянию, рассеянию рентгеновых лучей, а также с помощью поляризационно-микроскопических наблюдений. Исследование двойного лучепреломления в растянутых пленках проводили на стандартной установке с поворотным компен-

сатором и полутеневым устройством [16]. Образец помещали в термостат, который представлял собой полый металлический цилиндр с двумя окошечками для прохождения светового пучка, помещенный в пенопластовый цилиндр. Положение пленки фиксировали зажимами, причем с помощью нижнего — пленку прикрепляли к термостату, а верхнего — соединяли с растягивающим устройством. Двойное лучепреломление в растянутой пленке определяли по соотношению

$$\Delta n = \frac{\delta_0 \lambda}{d} \sin 2\Delta\phi,$$

где δ_0 — разность фаз вносимая компенсатором; $\Delta\phi$ — разность «полутеневых» азимутов компенсатора, соответствующих нагруженным и ненагруженным состояниям пленки, d — толщина пленки, λ — длина волны падающего света, выделяемая светофильтром. Для всех степеней набухания и используемых растворителей была получена прямолинейная зависимость величины Δn от растягивающего усилия σ , что давало возможность характеризовать фотоупругое поведение полимера коэффициентом фотоупругости $\varepsilon = \Delta n / \sigma$. В качестве иллюстрации на рис. 1 приведены зависимости Δn от σ для полимера, набухшего в *n*-ксилоле.

Величину сегментной анизотропии определяли по соотношению [17]

$$\alpha_1 - \alpha_2 = \frac{45kT\bar{n}}{2\pi(\bar{n}^2+2)^2} \varepsilon, \quad (2)$$

где \bar{n} — показатель преломления образца, равный $(n_k^2 v_k + n_s^2 v_s)^{1/2}$; n_k и n_s — показатели преломления полимера и растворителя, v_k и v_s — объемные доли полимера и растворителя, k — постоянная Больцмана, T — абсолютная температура.

При исследовании разбавленных растворов двойное лучепреломление измеряли при помощи установки, описание которой приведено в работе [18]. Зависимость Δn от сдвигового напряжения для растворов ПХП в *n*-ксилоле приведена на рис. 2. Оптическую анизотропию в этом случае определяли по соотношению [19]

$$\left(\frac{\Delta n}{g} \right)_{g \rightarrow 0} = \frac{4\pi(n_s^2+2)^2}{45kT} (\alpha_1 - \alpha_2), \quad (3)$$

где Δn — величина двойного лучепреломления раствора с вязкостью η при градиенте скорости g ; η_0 — вязкость растворителя.

Проводили сравнительное изучение температурной зависимости экспериментально определяемых величин сегментной анизотропии макромолекул ПХП в растворах и в набухшем состоянии (растворитель в обоих случаях *n*-ксилол). Как видно из рис. 3, значения $\alpha_1 - \alpha_2$ ПХП в *n*-ксилоле существенно убывают с повышением температуры, в то время как величина сегментной анизотропии ненабухшего полимера не зависит. Такое поведение $\alpha_1 - \alpha_2$ кажется нам принципиальным, поэтому проведем детальное его обсуждение.

Выше отмечалось, что различия значений собственной анизотропии макромолекул в разных растворителях связаны с наличием в растворах полимеров ближнего ориентационного порядка и его вкладом в измеряемую величину оптической анизотропии [4, 10]. Тогда экспериментально определяемая анизотропия оптической поляризуемости сегмента должна быть суммой двух членов

$$\alpha_1 - \alpha_2 = (\alpha_1 - \alpha_2)_0 + (\alpha_1 - \alpha_2)_s, \quad (4)$$

где $(\alpha_1 - \alpha_2)_0$ — истинная (собственная) оптическая анизотропия сегмента, значение которой можно получить при использовании изотропных растворителей или из исследования фотоупругости ненабухшего полимера, а $(\alpha_1 - \alpha_2)_s$ — анизотропия, вносимая молекулами растворителя, ориентированными относительно полимерной цепи. В предположении, что молекула растворителя характеризуется аксиально-симметричным эллипсоидом поляризуемости для величины $(\alpha_1 - \alpha_2)_s$ было получено следующее выражение [20]

$$(\alpha_1 - \alpha_2)_s = \frac{3z}{2} (\beta_1 - \beta_2) \left(\frac{\cos^2 \theta}{3} - \frac{1}{3} \right), \quad (5)$$

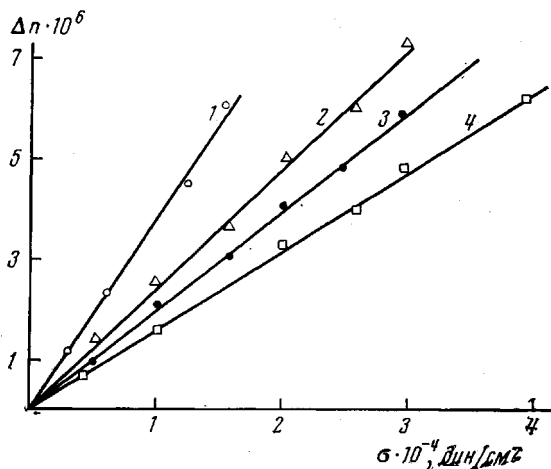


Рис. 1. Зависимость двойного лучепреломления ПХП в *n*-ксилоле от растягивающего напряжения при $v_k=0,10$
(1); 0,19 (2); 0,38 (3); 1,00 (4)

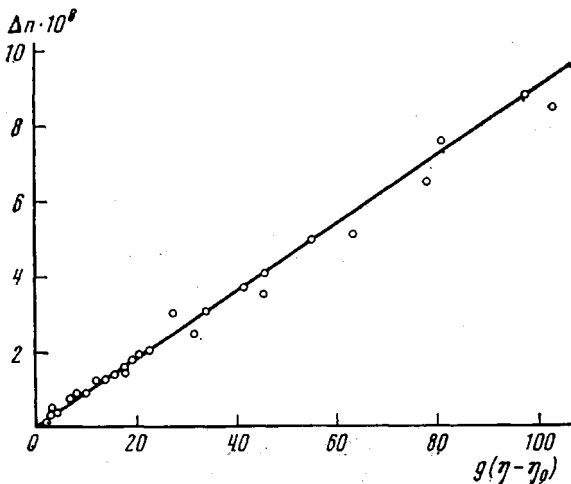


Рис. 2. Зависимость двойного лучепреломления от сдвигового напряжения для растворов ПХП в *n*-ксилоле

тде β_1 и β_2 — главные значения эллипсоида поляризуемости молекулы растворителя, z — число молекул растворителя, ориентированных относительно сегмента, ϑ — угол между направлением сегмента и осью симметрии молекул растворителя.

Отметим, что соотношение (5) может быть использовано в обсуждаемых здесь случаях, поскольку главные значения эллипсоидов поляризуемостей, лежащие в плоскости молекул растворителя, мало отличаются друг от друга. Величина оптической анизотропии ненабухшего полимера, т. е. $(\alpha_1 - \alpha_2)_0$ не зависит от температуры (рис. 3). Следовательно, изменение $\alpha_1 - \alpha_2$ с изменением температуры должно быть связано с изменением избыточной анизотропии $(\alpha_1 - \alpha_2)_s$. Действительно, с повышением температуры интенсивность теплового движения растет, что должно приводить к уменьшению степени ориентации молекул растворителя относительно полимерной цепи, т. е. к уменьшению величины $z \left(\overline{\cos^2 \vartheta} - \frac{1}{3} \right)$.

Последнее должно сопровождаться уменьшением избыточной анизотропии, что и наблюдается из эксперимента. Из исследования разбавленных

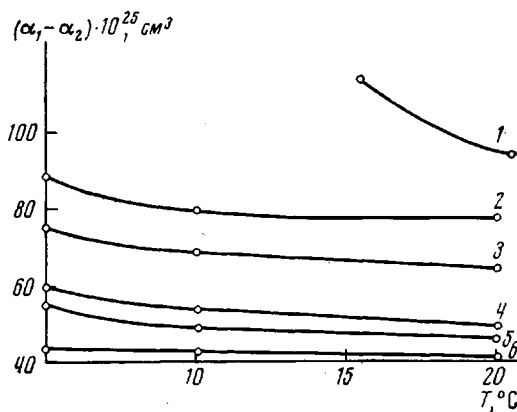


Рис. 3. Зависимость измеряемой оптической анизотропии ПХП в *n*-ксилоле от температуры при $v_h=0,01$ (1);
0,20 (2); 0,40 (3); 0,60 (4); 0,80 (5); 1,00 (6)

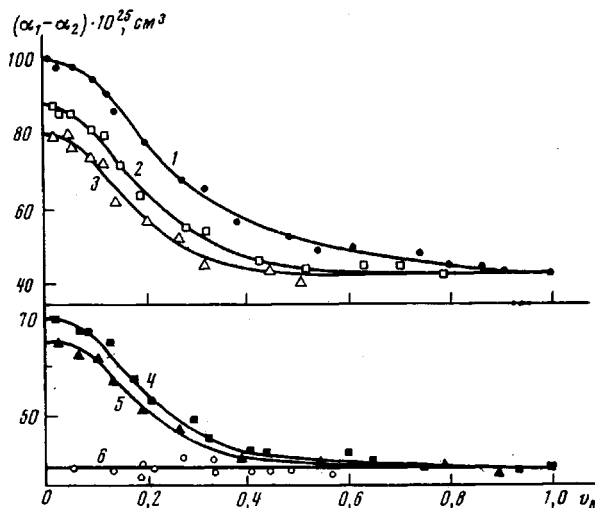


Рис. 4. Зависимость измеряемой оптической анизотропии ПХП от объемной доли полимера в *n*- (1); *o*- (2) и *m*-ксилоле (3); бромбензole (4); толуоле (5) и бромоформе (6)

растворов и набухших образцов были также определены значения оптической анизотропии ПХП в бромоформе, бромбензole, толуоле, *n*-, *m*- и *o*-ксилоле в зависимости от объемной доли полимера (рис. 4). Полученные данные свидетельствуют о существенной концентрационной зависимости сегментной анизотропии ПХП в бромбензole, толуоле, *n*-, *m*- и *o*-ксилоле, в то же время в бромоформе такая зависимость практически отсутствует.

Известно, что величина оптической анизотропии молекул бромоформа незначительна по сравнению с молекулами ароматических соединений, т. е. бромоформ может считаться практически изотропным растворителем. Тогда, избыточная сегментная анизотропия, обусловленная молекулами бромоформа, должна быть очень мала из-за малости $\beta_1 - \beta_2$, и величина $\alpha_1 - \alpha_2$ не должна зависеть от концентрации полимера. Следовательно, зависимость от концентрации сегментной анизотропии ПХП в ароматических растворителях, вероятнее всего, определяется изменением с концентрацией полимера вклада растворителя в оптическую анизотропию. Действительно, если подойти к этому вопросу с альтернативной точки зрения,

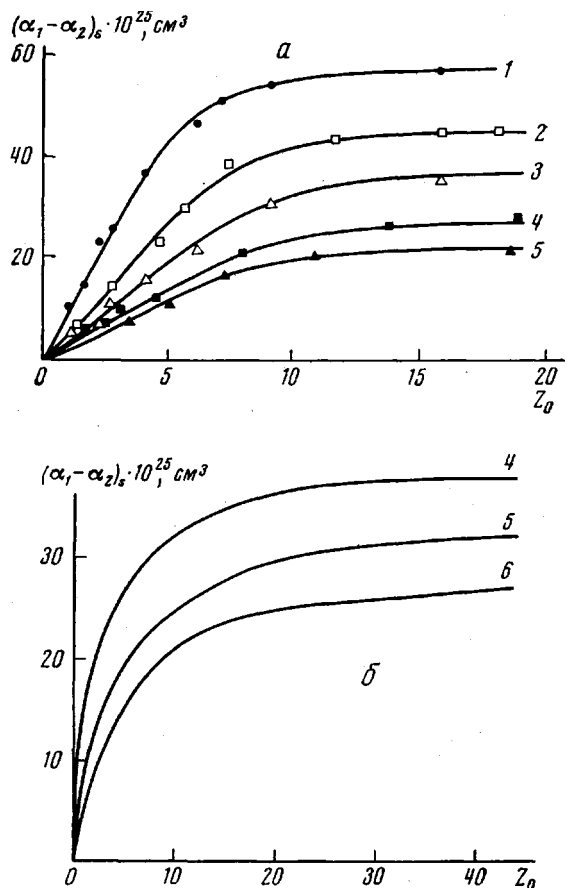


Рис. 5. Зависимость избыточной анизотропии ПХП (а) и ПВА (б) от z_0 в *n*- (1); *o*- (2) и *m*-ксилоле (3); бромбензole (4); толуоле (5) и бензоле (6)

т. е. полагать, что собственная анизотропия сама зависит от концентрации полимера (во всяком случае в рассмотренном интервале концентраций), то обсуждаемый эффект должен проявиться и в изотропном растворителе, например, бромоформе, что на самом деле не имеет места. Попытаемся теперь установить характер зависимости величины $(\alpha_1 - \alpha_2)_s$ от концентрации полимера. Для этого удобно рассмотреть зависимость избыточной анизотропии от числа молекул растворителя, приходящихся на сегмент z_0 . Величину z_0 можно выразить через объемную долю полимера. Действительно, если числа молекул растворителя и сегментов в 1 см^3 равны N_s и N_0 соответственно, то

$$z_0 = \frac{N_s}{N_0}, \quad (6)$$

а

$$N_s = \frac{(1-v_k)}{V_s} = \frac{(1-v_k)N_A\rho_s}{M_s} \quad (7)$$

$$N_0 = \frac{v_k}{V_0} = \frac{v_k N_A \rho_0}{M_0}, \quad (8)$$

где ρ_0 и ρ_s — плотности полимера и растворителя; V_0 и V_s — объемы сегмента и молекулы растворителя; M_0 и M_s — молекулярные веса сегмента и растворителя.

Подставляя из уравнений (7) и (8) значения N_s и N_0 в соотношение (6), получаем

$$z_0 = \frac{1 - v_k}{v_k} \frac{\rho_s M_0}{\rho_0 M_s} \quad (9)$$

При вычислении M_0 число мономерных звеньев в сегменте ПХП принималось равным двум. Это значение получается из гидродинамических данных при использовании идеального растворителя [21]. Как видно из рис. 5, а, величина $(\alpha_1 - \alpha_2)_s$ сначала растет с увеличением z_0 до значения $z_0 \sim 10$, а дальше практически не изменяется. Сопоставление размеров сегмента ПХП и молекул растворителя показывает, что минимальное число молекул растворителя, способных полностью покрывать поверхность сегментов, также равно десяти. Последнее позволяет высказать предположение, что относительно макромолекулы ориентируются только молекулы растворителя, находящиеся в непосредственной близости от макромолекулы. Аналогичные результаты получаются при рассмотрении концентрационных зависимостей оптической анизотропии поливинилацетата (ПВА) в разных растворителях [22] (рис. 5, б). Отметим, что насыщение здесь достигается при более высоких значениях z_0 , так как скелетная жесткость ПВА больше, чем у ПХП [21, 23].

Ереванский государственный
университет

Поступила в редакцию
26 XI 1973

ЛИТЕРАТУРА

1. Э. В. Фрисман, В. Я. Андрейченко, Высокомолек. соед., 4, 1559, 1962.
2. Э. В. Фрисман, Аи Бао Чжу, Высокомолек. соед., 4, 1564, 1962.
3. Т. И. Гармонова, Вестник ЛГУ, серия физ.-хим., 1962, № 2272.
4. Э. В. Фрисман, А. К. Дадиванян, Г. А. Дюзев, Докл. АН ССР, 153, 1062, 1963.
5. Э. В. Фрисман, Г. А. Дюзев, А. К. Дадиванян, Высокомолек. соед., 6, 341, 1964.
6. Э. В. Фрисман, А. К. Дадиванян, J. Polymer Sci., C16, 1001, 1967.
7. M. H. Liberman, Y. Abe, P. J. Flory, Macromolecules, 5, 550, 1972.
8. A. N. Gent, Macromolecules, 2, 262, 1969.
9. M. Fukuda, G. L. Wilkes, R. S. Stein, J. Polymer Sci., 9, A-2, 1417, 1971.
10. K. Nagai, J. Chem. Phys., 47, 4690, 1967.
11. А. А. Тагер, А. И. Суворова, Ю. С. Бессонов, А. И. Подлесняк, А. И. Королева, Л. В. Адамова, М. В. Цилиноткина, Высокомолек. соед., А13, 2454, 1971.
12. В. М. Асланян, А. К. Дадиванян, Г. С. Фаршян, Л. Г. Нагапетян, Сб. Межмолекулярные взаимодействия в конденсированных средах, «Наукова думка», 1974, стр. 152.
13. J. Umemura, T. Takenaka, S. Hayashi, R. Gotoh, Bull. Inst. Chem. Res. Kyoto Univ., 46, 228, 1968.
14. R. D. Fraser, T. P. Macrae, Nature, 183, 179, 1959.
15. Л. Г. Мелконян, Р. В. Багдасарян, А. В. Геворкян, Изв. АН АрмССР, хим. науки, 17, 483, 1964.
16. G. Szivessy, Handbuch der Phys., 19, 918, 1928.
17. W. Kuhn, F. Grün, Kolloid-Z., 101, 248, 1942.
18. Э. В. Фрисман, В. Н. Цветков, Ж. эксп. и теорет. физики, 23, 690, 1952.
19. A. Peterlin, J. Polymer Sci., 12, 45, 1954.
20. Э. В. Фрисман, А. К. Дадиванян, Высокомолек. соед., 8, 1959, 1966.
21. А. В. Геворкян, Изв. АН АрмССР, Физика, 1, 195, 1966.
22. В. Н. Цветков, А. Е. Грищенко, Л. Е. Де Милло, Е. Н. Ростовский, Высокомолек. соед., 6, 384, 1964.
23. В. Н. Цветков, В. Е. Эскин, С. Я. Френкель, Структура макромолекул в растворе, «Наука», 1964.